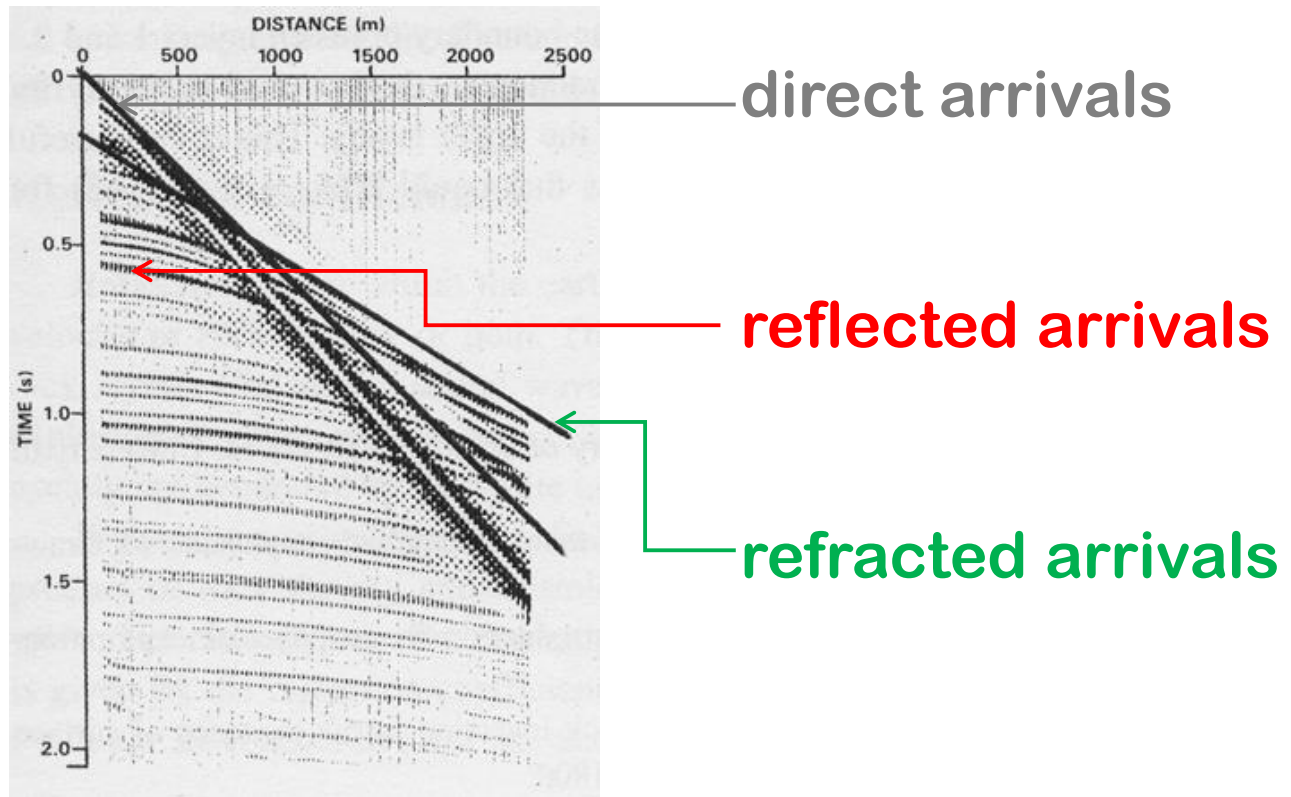


Assunzioni Geofisiche di Base



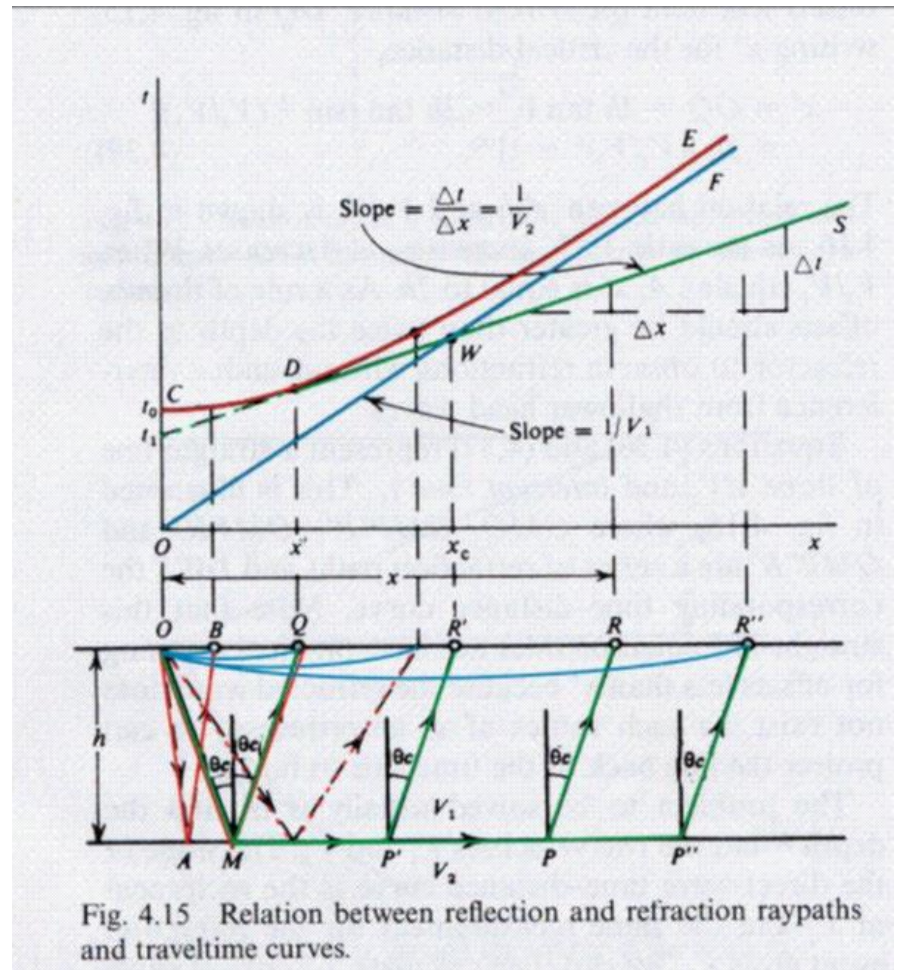
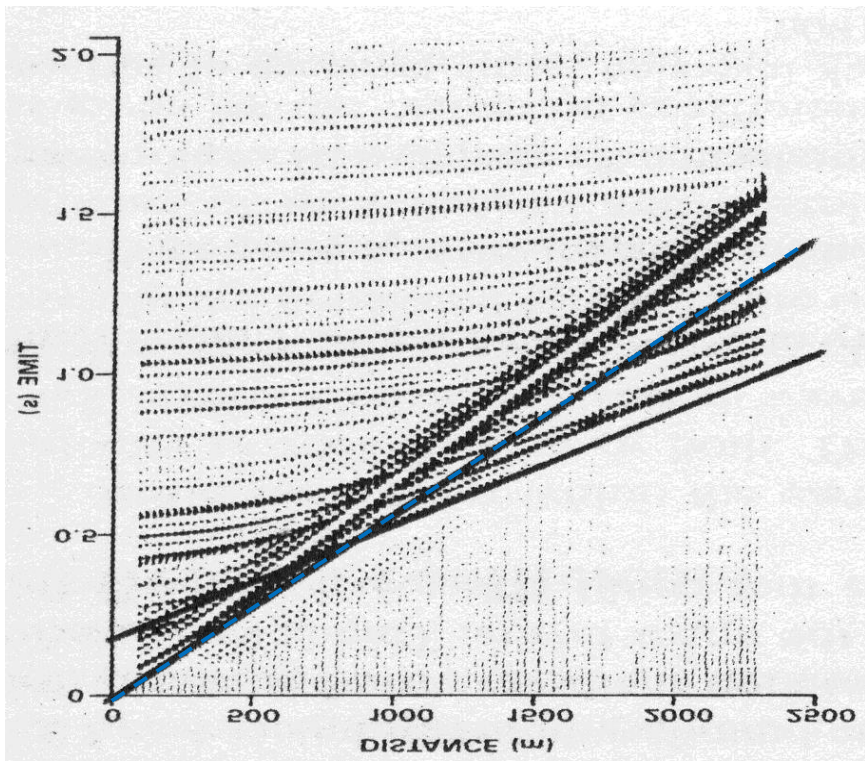


Fig. 4.15 Relation between reflection and refraction raypaths and traveltime curves.

Onda diretta $T = \frac{x}{V_1}$

T = tempo di arrivo

x = distanza sorgente-ricevitore (*offset*)

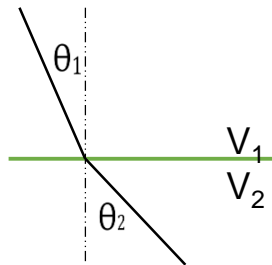
V₁ = velocità onde P nello strato superiore

Onda rifratta

$$T = \frac{x}{v_2} + \frac{2h \cos i_c}{v_1}$$

Legge di Snell

$$\frac{\sin \theta_1}{v_1} = \frac{\sin \theta_2}{v_2} = p.$$



Sismica a Rifrazione

$$\theta_2 = 90^\circ \rightarrow \theta_1 = \text{angolo critico}$$

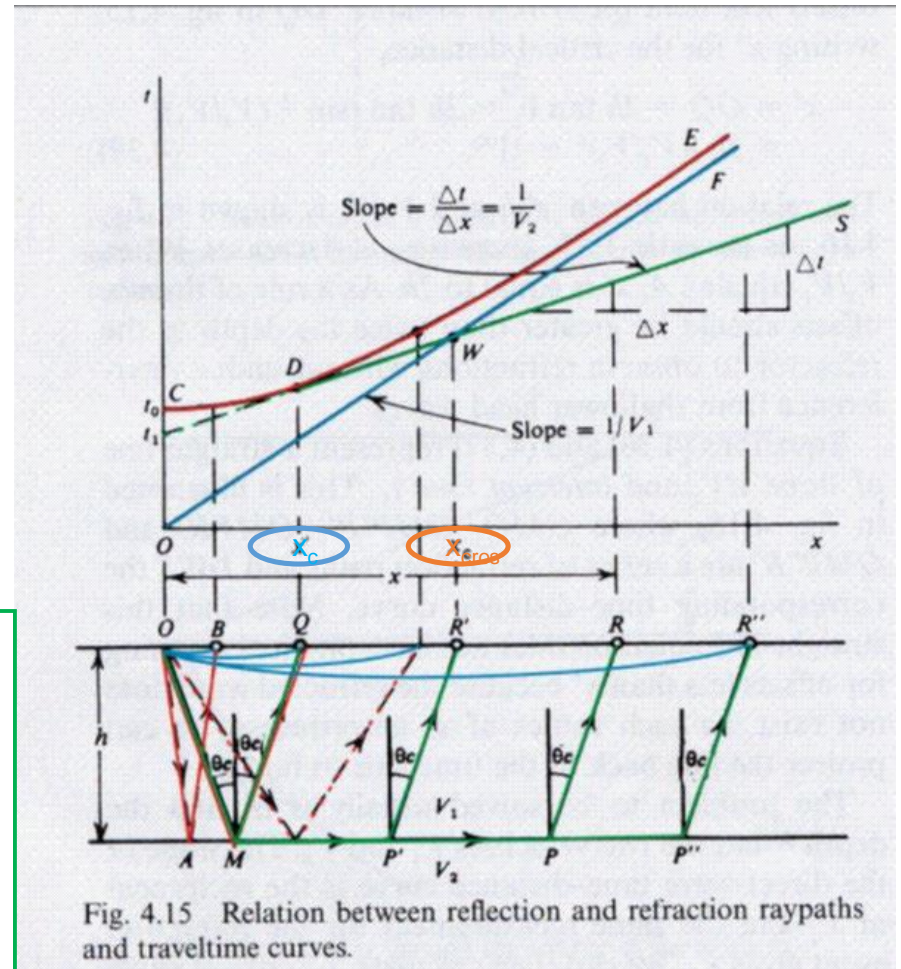
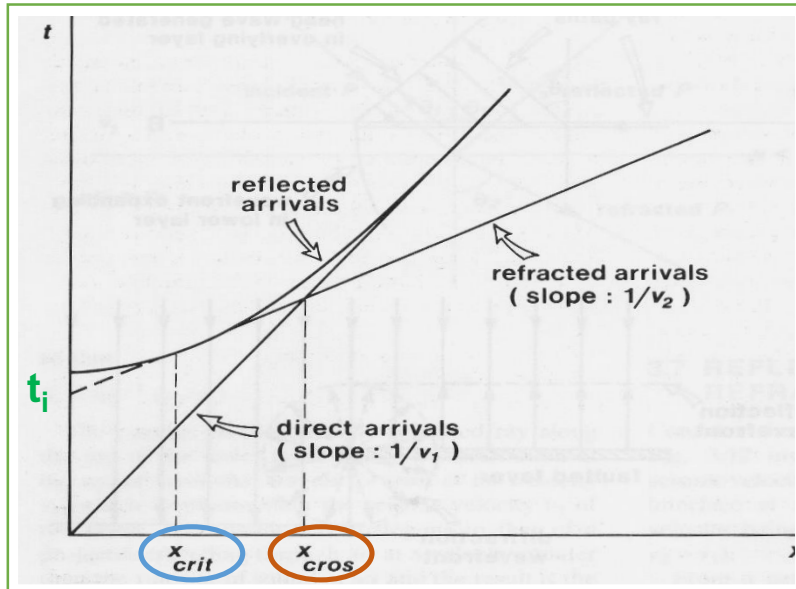


Fig. 4.15 Relation between reflection and refraction raypaths and traveltime curves.

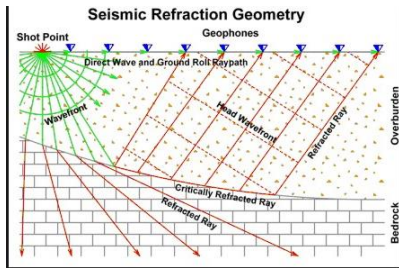
t_i = tempo intercetto

x_c o x_{crit} = distanza critica

x_{cros} = distanza di crossover

Onde rifratte

La sismica a rifrazione utilizza le onde rifratte originate da onde incidenti con angolo d'incidenza pari all'angolo critico i_c
 → angolo di rifrazione pari a 90°

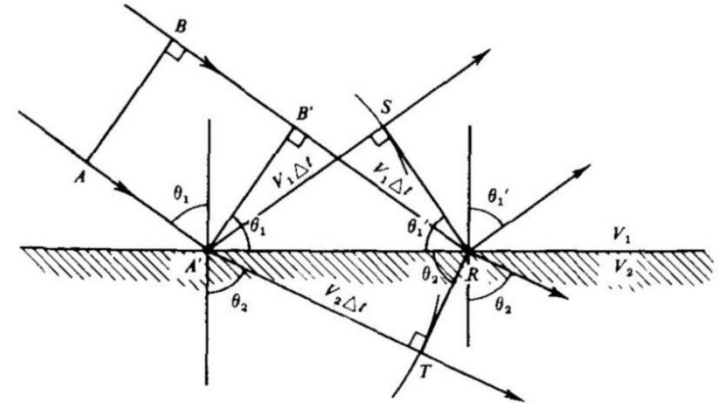


$$\frac{\sin \theta_1}{V_1} = \frac{\sin \theta_2}{V_2} = p.$$

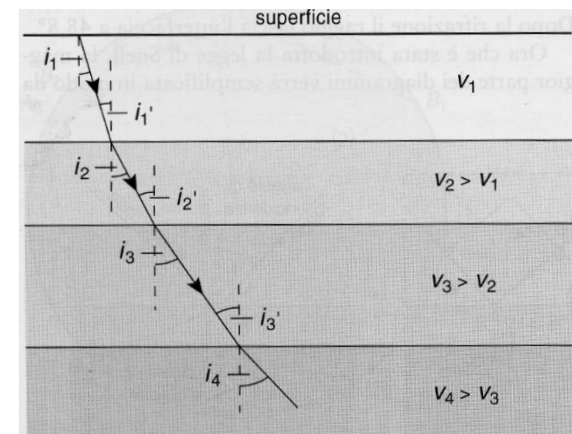
Le onde P che hanno angolo d'incidenza minore dell'angolo critico, rappresentano la parte di energia che viene trasmessa (o rifratta) in profondità attraverso le discontinuità. Si tratta dell'energia che potrà essere riflessa dalle discontinuità più profonde.

Principio di Huygens

Ogni punto di un fronte d'onda può essere pensato come una sorgente puntiforme di onde con stessa fase.



Reflection and refraction of a plane wave.



La figura di interferenza

(involuppo)

ottenuta dall'insieme delle onde sferiche generate nelle sorgenti puntiformi, costituisce il nuovo fronte dell'onda avanzante.

Ogni fronte d'onda sferico viene registrato, in termini di tempo di arrivo, come una iperbole.

Le diverse iperboli generate da una serie di punti allineati e distanziati, interferiscono negativamente.

Se i punti sono allineati e continui, le iperboli si annullano.

Effetti del Principio di Huygens

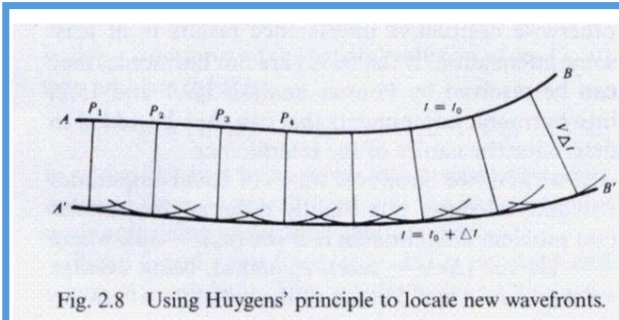


Fig. 2.8 Using Huygens' principle to locate new wavefronts.

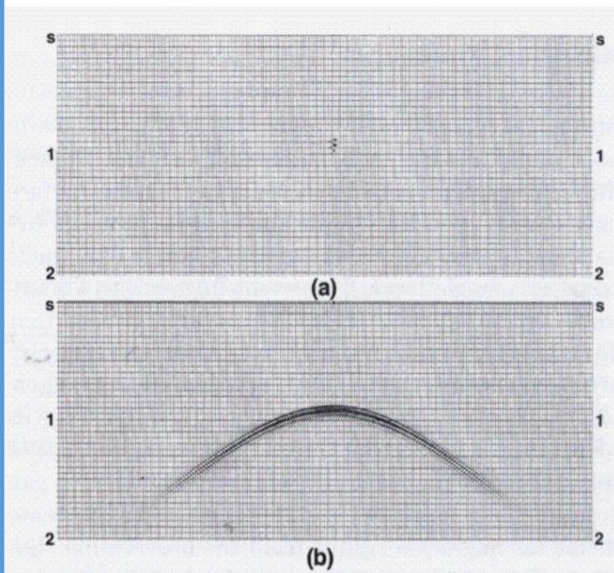


FIG. 4.1-11. A point that represents a Huygens' secondary source (a) produces a diffraction hyperbola on the zero-offset time section (b). The vertical axis in this section is two-way time.

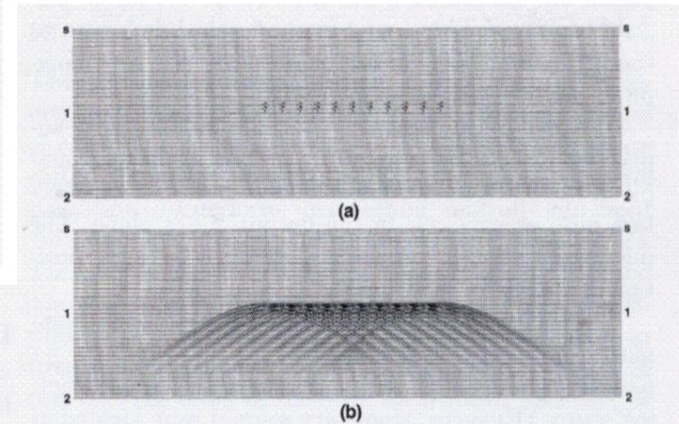


FIG. 4.1-12. Superposition of the zero-offset responses (b) of a discrete number of Huygens' secondary sources as in (a).

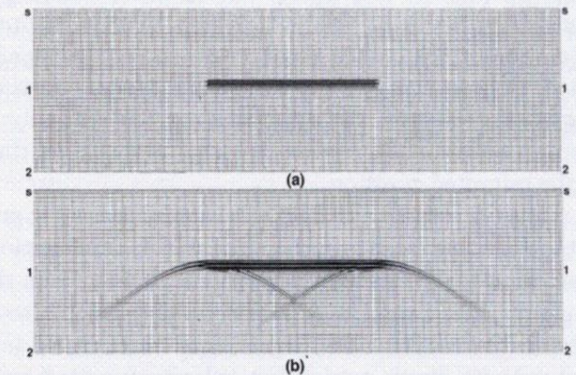


FIG. 4.1-13. Superposition of the zero-offset responses (b) of a continuum of Huygens' secondary sources as in (a).

Le riflessioni possono quindi essere viste come conseguenza del Principio di Huygens

Onda riflessa
$$T^2 = \left(\frac{x}{v_1}\right)^2 + \left(\frac{2h}{v_1}\right)^2$$

L'equazione dell'onda riflessa viene descritta da una iperbole che tende asintoticamente alla retta dell'onda diretta.

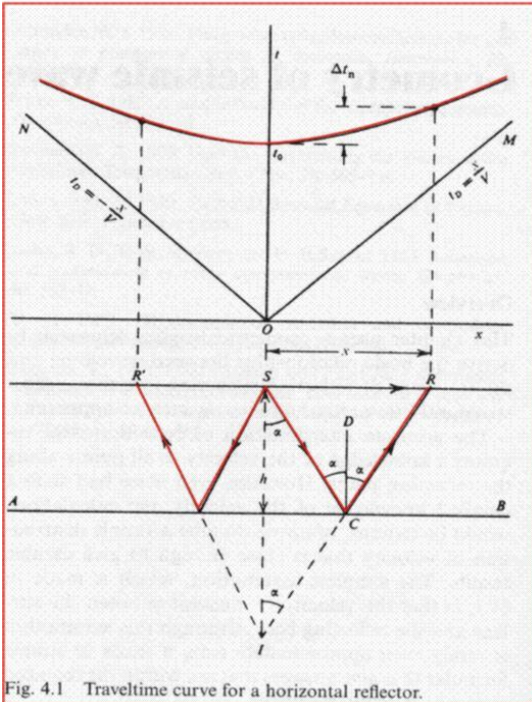
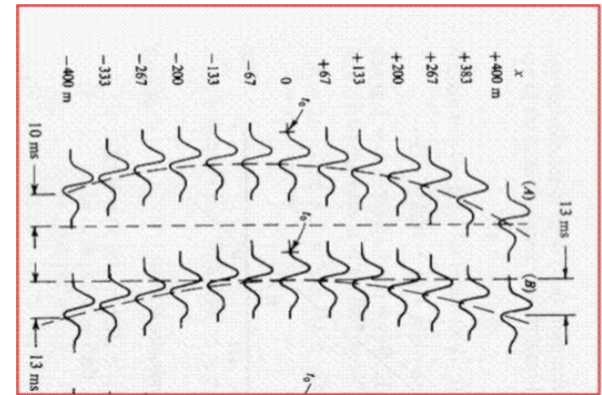
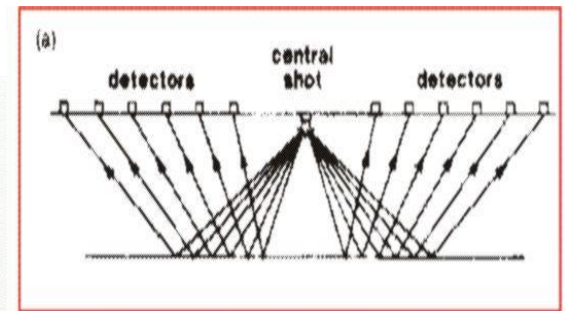
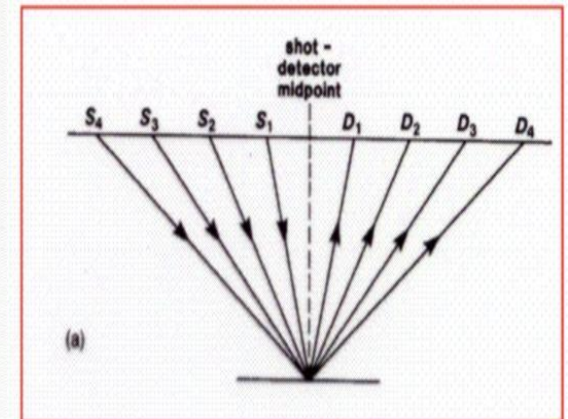


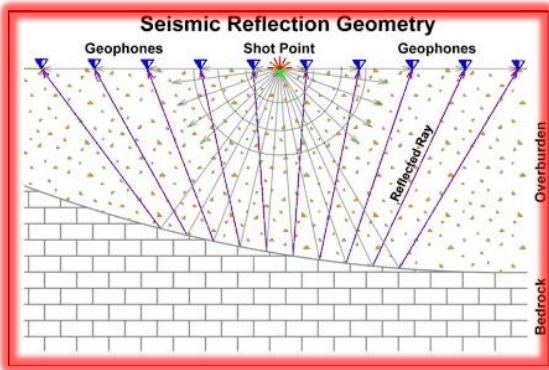
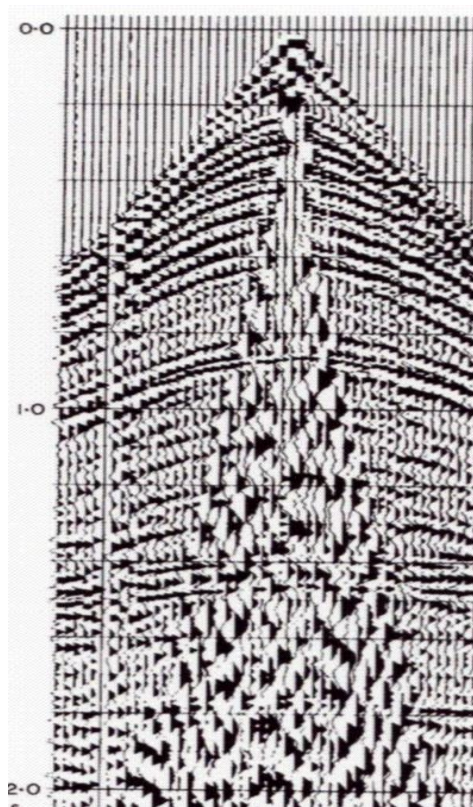
Fig. 4.1 Traveltime curve for a horizontal reflector.



Common Shot Gather

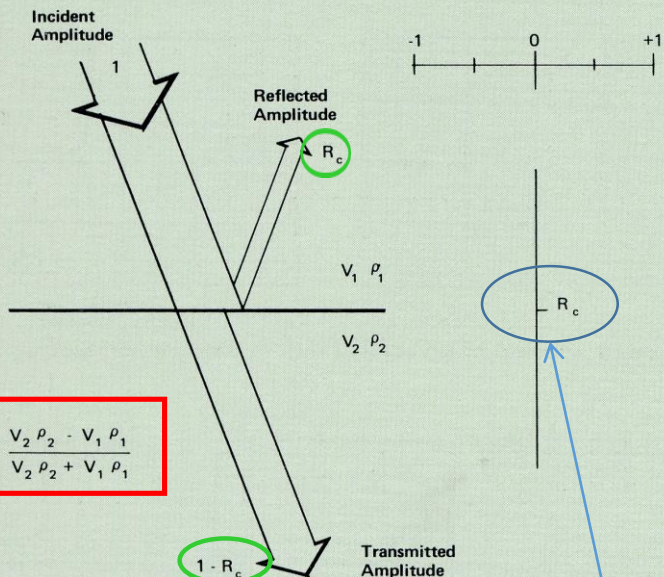


Common Midpoint Gather



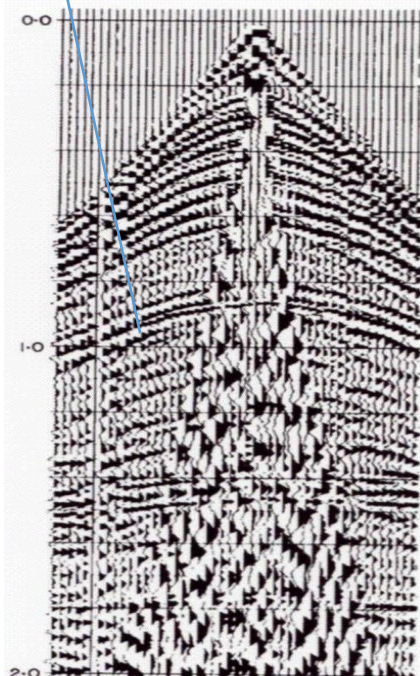
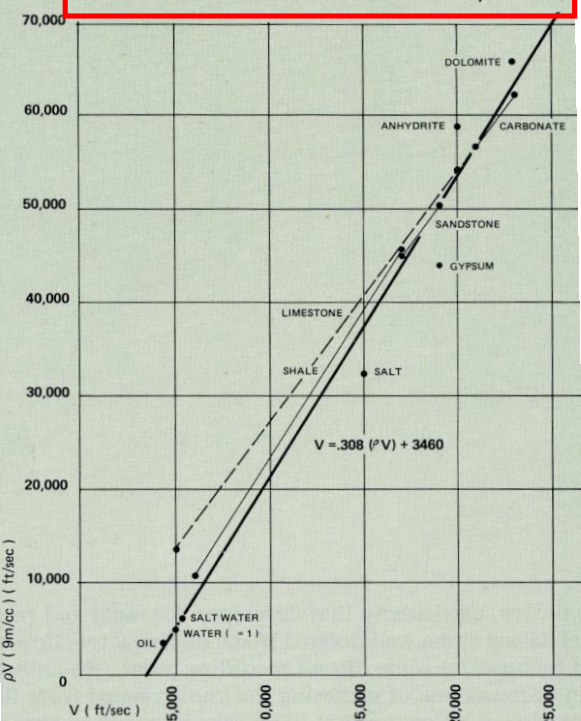
angolo di riflessione = angolo di incidenza

REFLECTION COEFFICIENT FORMULATION



$$R_c = \frac{V_2 \rho_2 - V_1 \rho_1}{V_2 \rho_2 + V_1 \rho_1}$$

ACOUSTIC IMPEDENCE vs VELOCITY (ρV vs V)



Del Ben Anna - Interpretazione Sismica - Assunzioni Geofisiche di Base

Impedenza Acustica ρv Coefficiente di Riflessione R_c

Le rocce sedimentarie sono le meno dense
 $\sim 2.1 \pm 0.3 \text{ gr/cm}^3$
 Il contrasto di densità fra rocce sedimentarie adiacenti è raramente maggiore di 0.25 g/cm^3

$$R_{c1} = \frac{V_2 - V_1}{V_2 + V_1} \quad \text{Basic approximation}$$

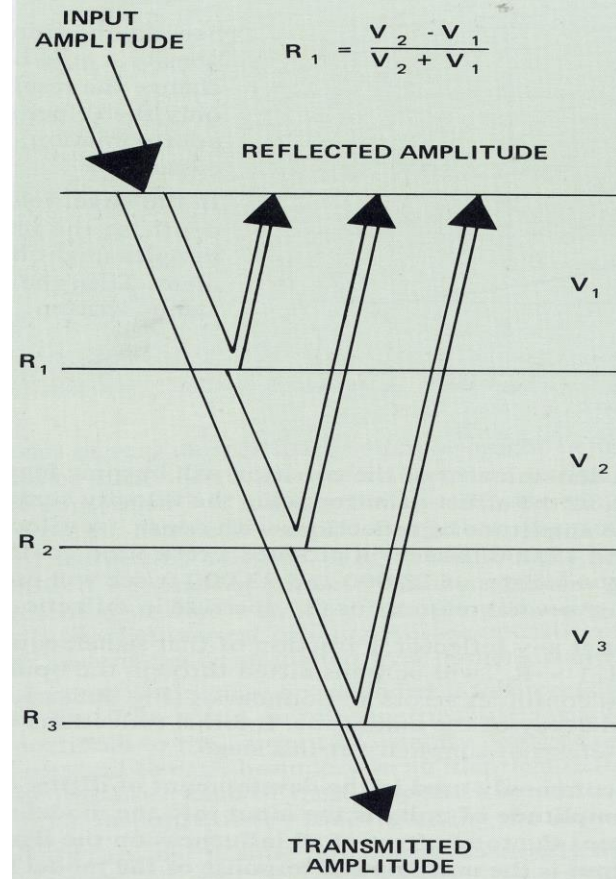
$$R_{c1} = \frac{\rho_2 V_2 - \rho_1 V_1}{\rho_2 V_2 + \rho_1 V_1} \quad \text{Better approximation}$$

$\rho = \text{Density}$

SEISMIC REFLECTION MODEL

Formula semplificata

$$R_1 = \frac{V_2 - V_1}{V_2 + V_1}$$



RELAZIONE tra DENSITA' e VELOCITA'

La funzione lineare tra impedenza acustica e velocità delle onde P (figura precedente) prevederebbe una densità pressoché costante.

In effetti ciò non è vero:

si ha generalmente una correlazione tra i valori di densità e velocità.

Una relazione più precisa è stata formulata da Gardner con una formula empirica (nella formula la velocità = α)

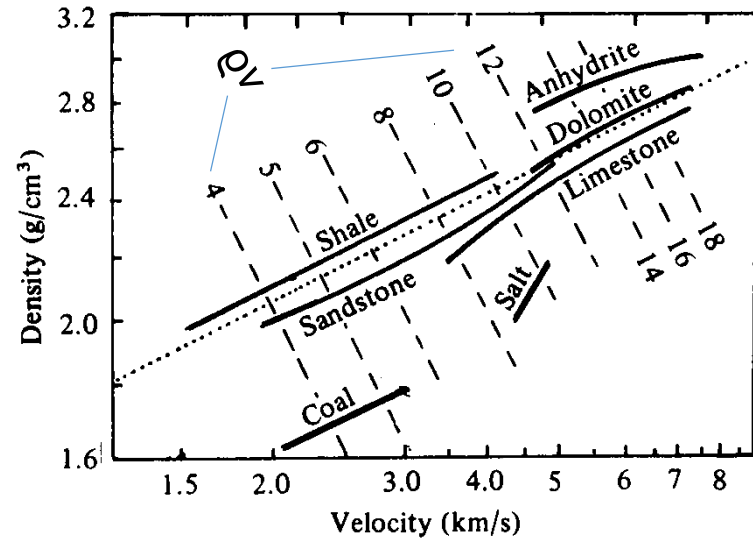
Gardner's formula for density, this relationship given by $\rho = c\alpha^{0.25}$, where c is a constant that depends on the rock type, is useful to estimate density from velocity when the former is unknown. With the exception of anhydrites, most rock types — sandstones, shales, and carbonates, tend to obey Gardner's equation for density.

c dipende dal tipo di roccia e dall'unità di misura di v .

Spesso, si possono assumere i valori:

-se V_p è espressa in m/sec $\rightarrow c = 0.23$

-se V_p è espressa in piedi/sec $\rightarrow c = 0.31$



Alcuni esempi di valori di

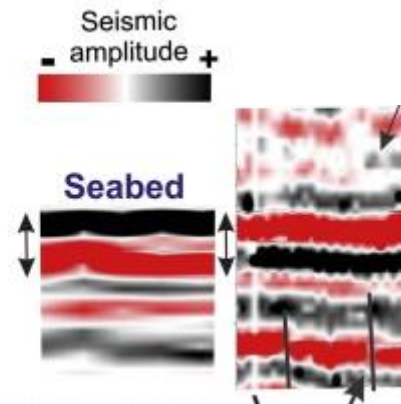
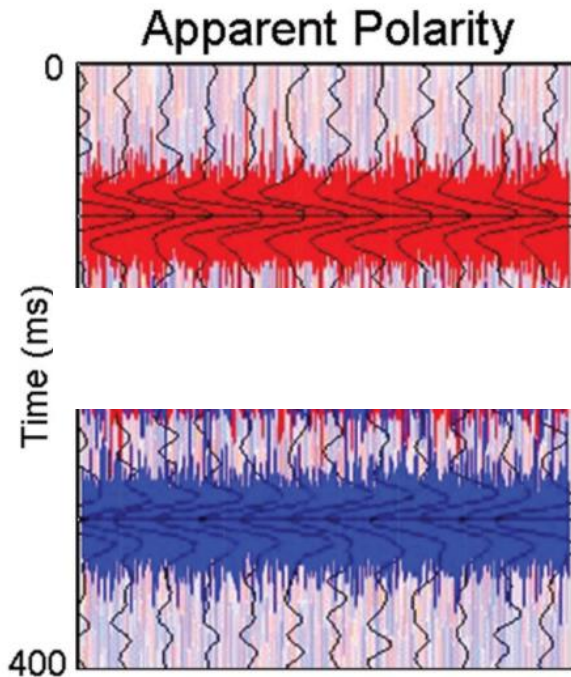
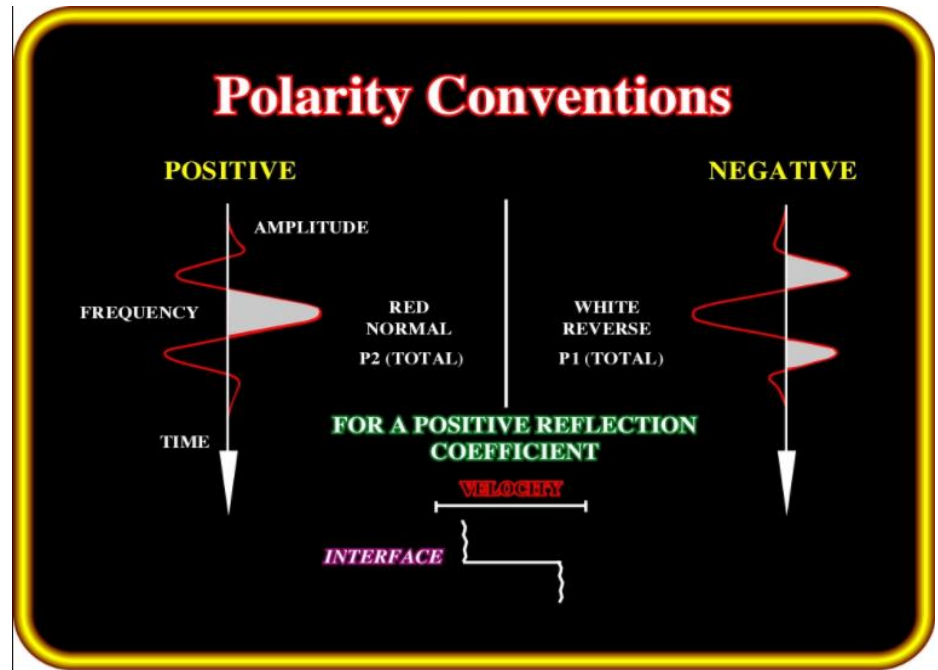
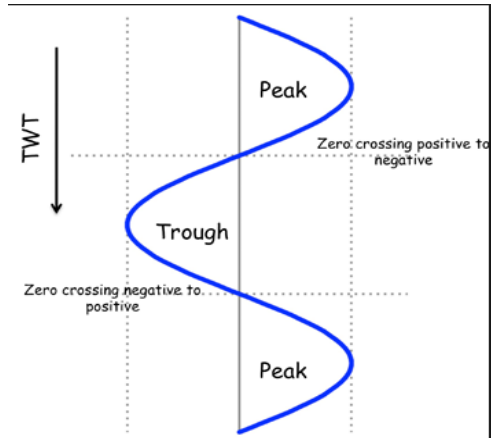
velocità v_p densità ρ coefficienti di riflessione R_c
per situazioni litologiche standard

Table 3.1 *Energy reflected at interface between two media*

Interface	First medium		Second medium		Z_1/Z_2	R	E_R
	Velocity	Density	Velocity	Density			
Sandstone on limestone	2.0	2.4	3.0	2.4	0.67	0.2	0.040
Limestone on sandstone	3.0	2.4	2.0	2.4	1.5	-0.2	0.040
Shallow interface	2.1	2.4	2.3	2.4	0.93	0.045	0.0021
Deep interface	4.3	2.4	4.5	2.4	0.97	0.022	0.0005
"Soft" ocean bottom	1.5	1.0	1.5	2.0	0.50	0.33	0.11
"Hard" ocean bottom	1.5	1.0	3.0	2.5	0.20	0.67	0.44
Surface of ocean (from below)	1.5	1.0	0.36	0.0012	3800	-0.9994	0.9988
Base of weathering	0.5	1.5	2.0	2.0	0.19	0.68	0.47
Shale over water sand	2.4	2.3	2.5	2.3	0.96	0.02	0.0004
Shale over gas sand	2.4	2.3	2.2	1.8	1.39	-0.16	0.027
Gas sand over water sand	2.2	1.8	2.5	2.3	0.69	0.18	0.034

All velocities in km/s, densities in g/cm^3 ; the minus signs indicate 180° phase reversal.

Cosa significa **coefficiente di riflessione R_c negativo**?



Type of formation	P wave velocity (m/s)	S wave velocity (m/s)	Density (g/cm ³)	Density of constituent crystal (g/cm ³)
Scree, vegetal soil	300-700	100-300	1.7-2.4	-
Dry sands	400-1200	100-500	1.5-1.7	2.65 quartz
Wet sands	1500-2000	400-600	1.9-2.1	2.65 quartz
Saturated shales and clays	1100-2500	200-800	2.0-2.4	-
Marls	2000-3000	750-1500	2.1-2.6	-
Saturated shale and sand sections	1500-2200	500-750	2.1-2.4	-
Porous and saturated sandstones	2000-3500	800-1800	2.1-2.4	2.65 quartz
Limestones	3500-6000	2000-3300	2.4-2.7	2.71 calcite
Chalk	2300-2600	1100-1300	1.8-3.1	2.71 calcite
Salt	4500-5500	2500-3100	2.1-2.3	2.1 halite
Anhydrite	4000-5500	2200-3100	2.9-3.0	-
Dolomite	3500-6500	1900-3600	2.5-2.9	(Ca, Mg) CO ₃ 2.8-2.9
Granite	4500-6000	2500-3300	2.5-2.7	-
Basalt	5000-6000	2800-3400	2.7-3.1	-
Gneiss	4400-5200	2700-3200	2.5-2.7	-
Coal	2200-2700	1000-1400	1.3-1.8	-
Water	1450-1500	-	1.0	-
Ice	3400-3800	1700-1900	0.9	-
Oil	1200-1250	-	0.6-0.9	-

Typical rock velocities, from Bourbie, Coussy, and Zinszner, Acoustics of Porous Media, Gulf Publishing

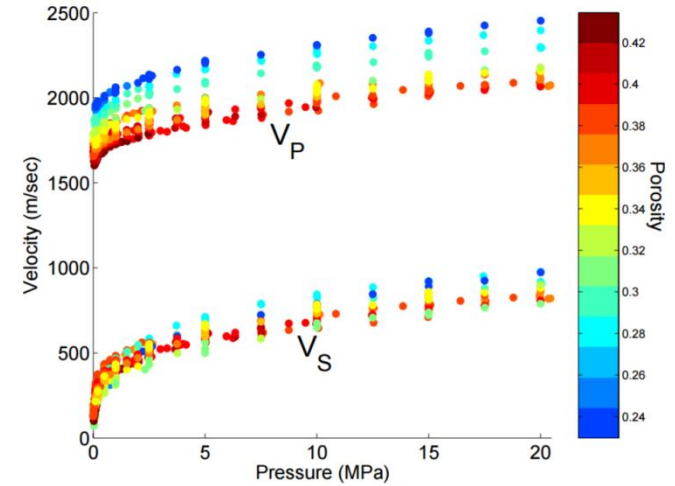


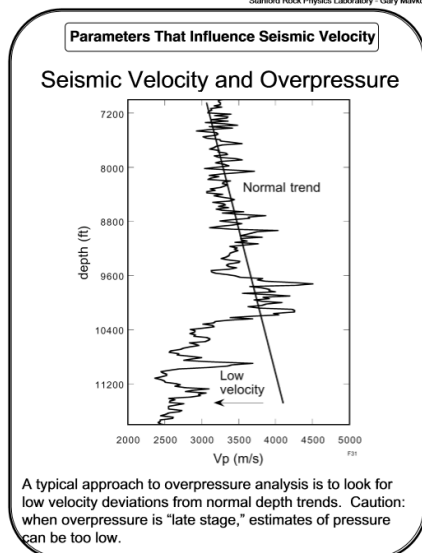
Figure 4.4: Gassmann fluid-substituted velocity data plotted against pressure, color-coded by porosity. The systematic porosity dependence of the compressional-wave velocities is easily visible.

Zimmer, 2004

La velocità V_P di una roccia dipende da:

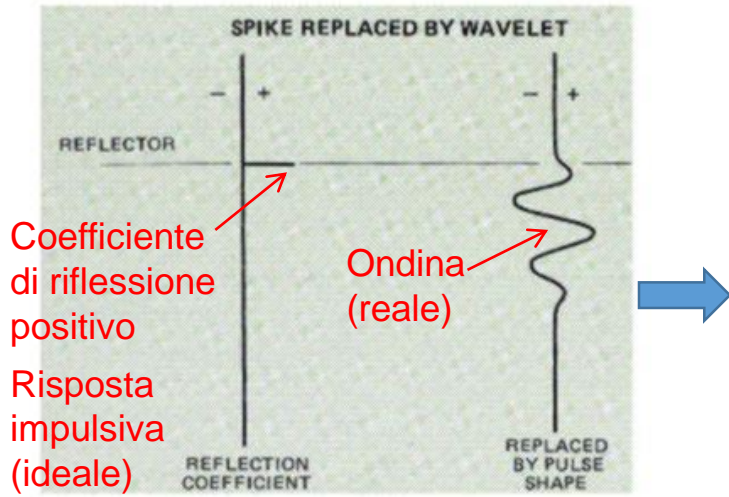
- tipo di roccia: importante, in particolare, soprattutto per pressioni basse (ridotta profondità), il contenuto in sedimenti fini/argille
- porosità (diminuisce con profondità)
- saturazione in fluidi
- pressione litostatica
- pressione nei pori (agisce } **pressione effettiva**)
più spesso in senso opposto alla pressione litostatica)
- presenza di microfrazture (...both -P & S- seismic wave velocities decrease with increasing crack density. By O'Connell and Budiansky, 1974)

Alte pressioni nei pori protratte nel tempo possono inibire i processi diagenetici e preservare la porosità: la tendenza sarà quella di mantenere velocità V_p più basse

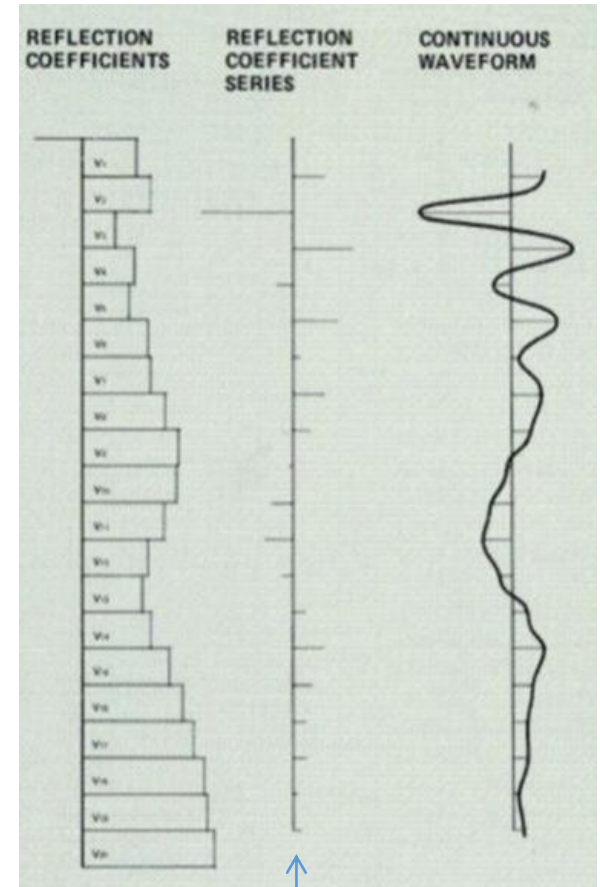
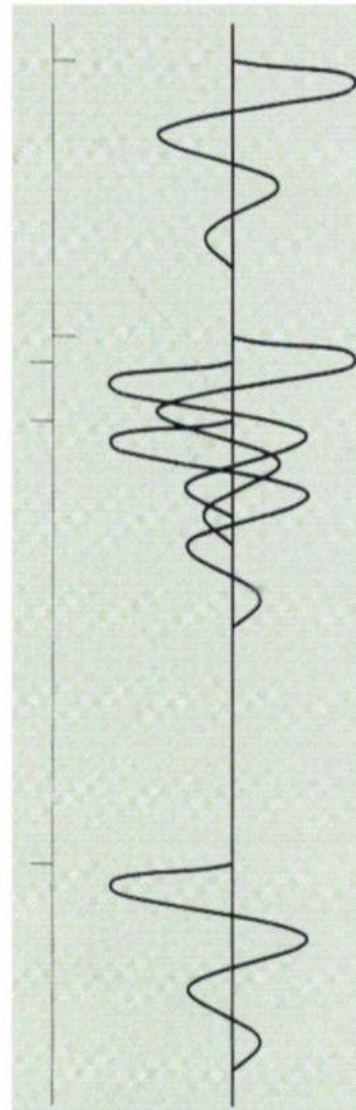


Cos'è un Sismogramma?

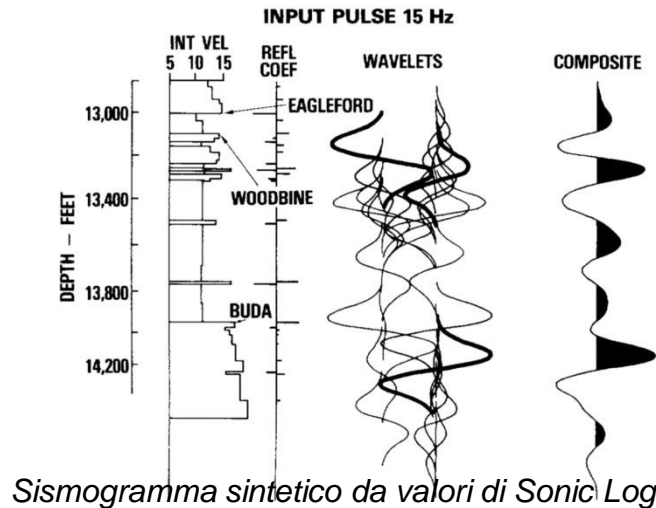
Il modello più semplice di riflessione considera due strati omogenei sovrapposti caratterizzati da diverse proprietà elastiche (-> V_p e ρ)



Coefficiente di riflessione positivo
Risposta impulsiva (ideale)



Si noti la diminuzione dei coefficienti di riflessione con la profondità



Sismogramma sintetico da valori di Sonic Log

FIG. 14—Synthetic seismogram, Shell 1 Southland Paper Mills, Polk County, Texas. Interval velocity in thousands of feet per second.